

# تحلیل و بهینه‌سازی ابعادی چرخ‌دنده جعبه‌دنده جلوی تراکتور

سامان خلیل پورآذری، عضو هیئت علمی گروه مهندسی مکانیک و ساخت و تولید، دانشگاه صنعتی ارومیه

s.khalilpour@mee.uut.ac.ir

احسان غیب غلامی، دانشجوی کارشناسی مهندسی مکانیک، دانشگاه صنعتی ارومیه

s\_azari1359@yahoo.com

## چکیده

در این مقاله محاسبه تنش‌های خمشی، لهیدگی و ضرایب اطمینان چرخ‌دنده سه حالته، که یکی بحرانی‌ترین چرخ‌دنده‌های موجود در جعبه‌دنده جلوی تراکتور گلدونی 930 OTM با توان ۳۰ اسب بخار می‌باشد، مورد بررسی قرار گرفته است. سپس محاسبات مورد نیاز با هدف بهینه‌سازی ابعاد این چرخ‌دنده برای افزایش توان موتور تراکتور به ۵۰ اسب بخار انجام گرفته است. برای این منظور، ابتدا چرخ‌دنده سه‌حالته با استفاده از نقشه‌های ارائه شده توسط شرکت تراکتورسازی، در نرم‌افزار Solid Works مدل‌سازی و سپس با توجه به نیروهای وارد، در نرم‌افزار Simulation Xpress تحلیل شده است. مقایسه نتایج محاسبات با آنالیز نرم‌افزاری نشان‌دهنده دقت بالا و انطباق خوب هر دو روش است. در نهایت تغییرات ابعادی مورد نیاز روی چرخ‌دنده سه‌حالته برای نصب در تراکتور گلدونی با توان ۵۰ اسب بخار ارائه و نمونه واقعی آن تولید شده است.

**واژه‌های کلیدی:** چرخ‌دنده سه‌حالته، تراکتور، جعبه‌دنده، تنش خمشی، تنش لهیدگی.

## مقدمه

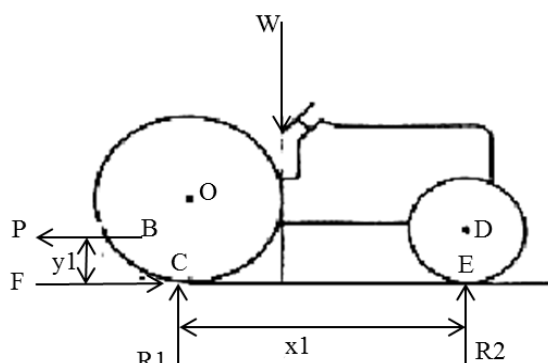
معمولًا بر بررسی میزان نوسانات، صدای تولیدشده در چرخ‌دنده، ظرفیت تحمل نیرو، افزایش بازده کاری و بهبود هندسه پروفیل دنده متمرکز بوده است. مثلاً اُجانویک (۱۹۹۶) روش‌هایی برای بررسی و بهینه‌سازی چرخ‌دنده‌ها ارائه کرده است [۱]. مارسلن امروزه از روش‌های متنوعی برای بهینه‌سازی سیستم‌های انتقال قدرت چرخ‌دنده‌ای استفاده می‌شود؛ علت این امر نیز پارامترهای گوناگون و متنوع دخیل در طراحی چرخ‌دنده‌هاست. بهینه‌سازی چرخ‌دنده‌ها



ایران، تولید قطعات تراکتور کمرشکن باگی در داخل کشور آغاز شد. با توجه به ضرورت ایجاد تنوع در محصولات و افزایش کارایی تراکتورها جهت بالا بردن قدرت رقابت در بازار، این شرکت اقدام به افزایش قدرت موتور تراکتور کمرشکن باگی نمود. در این راستا به جای موتور دو سیلندر هواخنک هائز آلمان با قدرت ۳۰ اسب بخار، موتور پرکینز انگلیسی با قدرت ۵۰ اسب بخار بدون تغییر در جعبه دندۀ جلو جایگزین شد. جعبه دندۀ جلوی این تراکتور از نوع کشویی ساده با ۶ سرعت جلو و ۳ سرعت عقب متفاوت و با کلاچ تک دیسک خشک مکانیکی است. با توجه به تعداد چرخ دندۀ های موجود در جعبه دندۀ و اهمیت بررسی تک تک چرخ دندۀ ها، تعیین میزان ضریب اطمینان و ظرفیت تحمل بار، در این مقاله چرخ دندۀ سه حالته مورد بررسی قرار گرفته است.

### کاربرد فرمول ها و روش ها در حل مسئله نیروهای وارد بر تراکتور

مهم ترین نیروهای وارد بر یک تراکتور در شرایط کار معمولی و در ساده ترین وضعیت مطابق شکل ۱ می باشد [۱۰]:



شکل ۱. نیرو های وارد بر تراکتور  
در ساده ترین وضعیت کاری

(۲۰۰۱) از الگوریتم ژنتیک برای بهینه سازی پارامترهای جفت چرخ دندۀ های در گیر استفاده نموده است [۲]. لیتوین و همکاران (۲۰۰۶) در زمینه کاهش نویز در محرک های چرخ دندۀ ای تحت بارگذاری تحقیقاتی انجام داده اند [۳]. کایاباسی (۲۰۰۷) نیز از روش المان محدود برای بهینه سازی شکل پروفیل چرخ دندۀ ها بهره برده است [۴]. خو و همکاران (۲۰۰۷) نیز مدلی تخمینی برای پیش بینی ارتباط راندمان کاری چرخ دندۀ و اصطکاک برای جفت چرخ دندۀ های نصب شده روی محورهای موازی ارائه داده اند [۵]. کومار و همکاران نیز (۲۰۰۸) روشی برای بهینه سازی هندسه نامتقارن پروفیل دندۀ به منظور افزایش ظرفیت تحمل بار خمثی روی آن ابداع نموده اند. نتایج این بررسی تطابق خوبی با روش های مشابه پرکاربرد نظریه المان محدود و استانداردهای موجود مانند آگما<sup>۱</sup> داشته است [۶]. تحقیقات مارسلن در استفاده از الگوریتم ژنتیک جهت بهینه سازی چرخ دندۀ ها در همین سال توسط بونوری در [۷]. همچنین بوز چا برای بهینه سازی هندسه پروفیل دندانه ها و حذف صدای ناشی از برخورد دندۀ های در گیر با یکدیگر یک مدل ارتعاشی طراحی کرده است [۸]. ابراهیمی نیز (۲۰۱۰) روش های به کار برده شده در بهینه سازی پارامترهای گوناگون چرخ دندۀ ها را به صورت یک گزارش علمی ارائه کرده است [۹]. شرکت تراکتور سازی ارومیه از سال ۱۳۶۳ هـ. ش تحت لیسانس شرکت گلدونی<sup>۲</sup> ایتالیا اقدام به تولید تراکتورهای کمرشکن باگی نموده است. با استقلال شرکت تراکتور سازی ارومیه از شرکت خارجی در سال ۱۳۷۸ و الحاق آن به شرکت تراکتور سازی

است. طبق اندازه‌گیری‌ها برای تراکتور 930 OTM وزن روی محورهای جلو و عقب به ترتیب ۵۶۰ و ۳۱۰ کیلوگرم است. ضمناً به محورهای جلو وزنه ۳۰ کیلوگرمی متصل و حداکثر قدرت کششی با وزنه معادل ۹۴۰ کیلوگرم می‌باشد. با توجه به معلوم‌بودن مقادیر ( $m = 0.541$ ) و ( $y_1 = 1.055$ ) با فرض ساکن‌بودن تراکتور می‌توان  $X_2$  را از رابطه ۳ به دست آورد [۱۰]:

$$\sum M_C = 0 \Rightarrow W \cdot X_2 - R_2 \cdot X_1 = 0 \quad (3)$$

$$X_2 = \frac{590 \times 1.055}{900} = 0.69 \text{ (m)}$$

اکنون می‌توان مقادیر بارهای دینامیکی برای چرخ‌های جلو و عقب را توسط روابط ۱ و ۲ محاسبه کرد [۱۰]:

$$R_1 = 7783(N) \quad (4)$$

$$R_2 = 1046(N) \quad (5)$$

ضریب اصطکاک بین چرخ و جاده برای تایرهای معمولی  $\mu = 0.6$  توصیه شده است. از طرفی چون تراکتور مورد نظر از نوع چهار چرخ محرک است، نیروی کشش در چرخ‌های محرک را می‌توان توسط روابط زیر به دست آورد [۱۰]:

$$F_1 = \mu \times R_1 \quad (6)$$

$$F_2 = \mu \times R_2 \quad (7)$$

$$F = F_1 + F_2 \quad (8)$$

که در آن  $F_1$  نیروی کشش در چرخ‌های محرک عقب،  $F_2$  نیروی کشش در چرخ‌های محرک جلو و  $F$  نیروی کشش کل در چرخ‌های محرک است؛ بنابراین:

$$F_1 = 4670(N)$$

$$F_2 = 628(N)$$

$$F = 5298(N)$$

### گشتاور لغزشی

حداکثر گشتاور قابل انتقال به چرخ‌ها به ظرفیت

شکل ۱ با این فرض‌های نمایش داده شده است:

۱. چرخ‌های عقب تراکتور محرک باشند.
۲. حرکت پیش روی یکنواخت باشد و در سطحی صاف و بدون شب انجام می‌گیرد.
۳. امتداد نیروی مالبند افقی باشد، از وسط محور عقب بگذرد و موازی با جهت حرکت تراکتور باشد.
۴. امتداد مجموع عکس‌العمل‌های عمودی خاک  $R_1$  نسبت به چرخ‌های محرک عقب از وسط محور عقب ( نقطه O ) بگذرد.

۵. امتداد مجموع عکس‌العمل‌های عمودی خاک  $R_2$  نسبت به چرخ‌های محرک جلو از وسط محور جلو ( نقطه D ) بگذرد.

از نظر راننده، کشش در مالبند مهم‌ترین نیروی وارد بر تراکتور است و از دیدگاه نظری، این نیرو فقط یکی از چند نیروی مهم وارد بر تراکتور است. علاوه بر آن حداقل دو نیروی دیگر ( وزن تراکتور و عکس‌العمل خاک ) نیز بر تراکتور مؤثرند. طبق شکل ۱ و براساس فرض‌های فوق، نیروی وزن  $W$  به مرکز جرم تراکتور وارد می‌شود. در حالتی که کشش در مالبند صفر باشد، نیروهای عکس‌العمل خاک را می‌توان به صورت  $R_1$  و  $R_2$  در نظر گرفت. با در نظر گرفتن نمودار جسم آزاد نیروهای وارد بر تراکتور و منظور نمودن شرایط تعادل، می‌توان نوشت:

$$\sum M_E = 0 \Rightarrow W(X_1 - X_2) + P \cdot y_1 - R_1 \cdot X_1 = 0 \quad (1)$$

$$\sum M_C = 0 \Rightarrow W \cdot X_2 - P \cdot y_1 - R_2 \cdot X_1 = 0 \quad (2)$$

به طوری که در روابط فوق،  $P$  نیروی مالبند ( نیروی کشش خالص تراکتور )،  $R$  نیروی دینامیکی روی چرخ،  $W$  وزن تراکتور،  $X_1$  فاصله بین دو محور،  $X_2$  فاصله بین مرکز ثقل تا محور عقب و  $y_1$  ارتفاع مالبند



### تعیین سرعت در محدوده گشتاور لغزشی

پس از محاسبه حداکثر گشتاور روی محور، باید سرعتی که در آن نیروی کششی حداکثر است، محاسبه شود. با جایگذاری مقادیر به دست آمده در رابطه ۱۴ می‌توان مقدار تقریبی سرعتی که پایین‌تر از آن گشتاور لغزشی، محدودکننده قدرت انتقالی به مالبند می‌شود را محاسبه نمود تا دنده‌ای که در آن گشتاور لغزشی تعیین کننده است تعیین گردد [۱۰]:

$$P = \frac{F \cdot V}{270} \quad (14)$$

به طوری که در رابطه فوق  $F$  نشان‌دهنده نیروی کشش ناخالص بر حسب کیلوگرم،  $V$  سرعت پیشروی بر حسب کیلومتر بر ساعت و  $P$  توان مالبندی ناخالص بر حسب اسب بخار است، بنابراین:

$$V = \frac{270 \times 30}{14788/9.81} = 5.37 \quad (Km/h) \quad (15)$$

سرعت حاصله در حداکثر کشش تراکتور ۵/۳۷ کیلومتر بر ساعت محاسبه شد. با توجه به مشخصات تولیدی جعبه‌دنده، این سرعت مربوط به دنده ۴ تراکتور ۹۳۰ OTM است. بنابراین توان انتقالی به مالبند در دنده‌های ۱, ۲, ۳ جلو و عقب با ظرفیت کششی حاصل از گشتاور لغزشی محدود می‌شود. این بدان معناست که در این دنده‌ها توان انتقالی توسط چرخ دنده‌ها کمتر از میزان توانی است که از شفت موتور وارد می‌شود و در واقع نمی‌توان در محاسبه نیروی مماسی چرخ دنده‌ها توان را ۳۰ اسب بخار قرار داد. هنگامی که تراکتور روی زمین هموار در دنده‌های سنگین (لاکپشتی) در حال حرکت است، نیروی کمتری به چرخ دنده‌ها وارد می‌شود؛ اما در دنده‌های سیک (خرگوشی) این نیرو معادل تمام توان وارد شده

کششی تراکتور محدود می‌شود که این گشتاور را گشتاور لغزشی می‌نامند. این گشتاور به عوامل مختلفی بستگی دارد، که عبارتند از: وزن روی محور محرک، وضعیت سطح جاده، ضریب اصطکاک بین چرخ‌ها و جاده. رابطه ۹ نحوه محاسبه میزان گشتاور لغزشی محور عقب و جلو وارد بر روی جعبه‌دنده تراکتور را نشان می‌دهد [۱۰]:

$$T_{\text{gearbox}} = r_D \times \frac{F}{(m_A \times m_G)} \quad (9)$$

که در آن  $r_D$  نشان‌دهنده شعاع تایر،  $m_G$  نسبت سرعت دیفرانسیل و  $m_A$  نسبت سرعت کاهنده نهایی است. چون لاستیک تراکتور از نوع R\*16-4825 است، شعاع لاستیک برای تراکتور ۰/۳۹۸ متر در نظر گرفته شده است. همچنین با توجه به مشخصات جعبه‌دنده، نسبت سرعت دیفرانسیل  $\frac{43}{9}$  و نسبت سرعت کاهنده نهایی معادل  $\frac{38}{12}$  می‌باشد. لذا طبق رابطه ۷ داریم:

$$T_{\text{gearbox}} = \frac{0.398 \times 5298}{4.78 \times 3.17} = 139.16 \quad (10)$$

همچنین حداکثر گشتاور لغزشی روی دیفرانسیل از رابطه ۱۱ به دست می‌آید [۱۰]:

$$T_{WGS} = r_D \times F_1 \quad (11)$$

$$T_{WGS} = 1859 \text{ N.m}$$

گشتاور روی چرخ محرک نیز از رابطه ۱۲ محاسبه می‌شود [۱۰]:

$$T_{\text{wheel}} = T_{WGS} \times m_A = 5885.7 \quad (12)$$

بنابراین نیروی کشش ناخالص که مجموع نیروهای کششی خالص و نیروی مقاومت غلتشی است نیز عبارت است از:

$$F = \frac{T_{\text{wheel}}}{r_D} = \frac{5885.7}{0.398} = 14788 \quad (N) \quad (13)$$

ضریب ایمنی SF برای شکست خستگی خمشی طبق رابطه ۱۸ [۱۱]:

$$S_F = \frac{\sigma_{FP} Y_N}{\sigma_{all} Y_\theta Y_Z} \quad (۱۸)$$

ضریب ایمنی SH برای شکست خستگی تماسی نیز به صورت [۱۱]:

$$S_H = \frac{\sigma_{HP} Z_N Z_W}{\sigma_{c,all} Y_\theta Y_Z} \quad (۱۹)$$

و مقدار مقاومت خستگی تماسی مجاز برای تنش تماسی چرخ دنده‌های مورد نظر از رابطه ۲۰ محاسبه می‌شود [۱۱]:

$$\sigma_{HP} = 2.41HB + 237 \text{ MPa} \quad (۲۰)$$

مقدار مقاومت خستگی خمشی مجاز برای چرخ دنده‌های مورد نظر نیز از رابطه ۲۱ به دست می‌آید [۱۱]:

$$\sigma_{FP} = 0.703HB + 113 \text{ MPa} \quad (۲۱)$$

که در روابط فوق،  $W^t$  نشان‌دهنده بار مماس انتقالی (N) m مدول دنده به میلی‌متر، F عرض دنده‌های عضو باریک‌تر به میلی‌متر،  $d_p$  قطر گام چرخ کوچک، HB سختی برینل و سایر پارامترها در ادامه معرفی خواهند شد.



### نتایج بررسی‌ها و محاسبات ضرایب

با استفاده از تست سختی سنجی میزان سختی چرخ دنده‌ها، ۶۲۱ برینل تعیین گردید. بنابراین با استفاده از معادلات ۲۰ و ۲۱ مقادیر مقاومت خستگی خمشی و مقاومت خستگی تماسی مجاز به صورت زیر حاصل می‌شود:

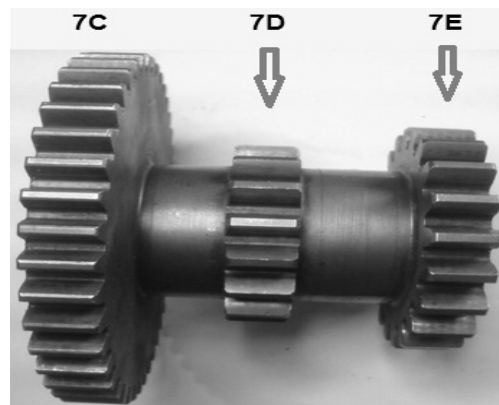
$$\sigma_{HP} = 1734 \text{ MPa} \quad (۲۲)$$

$$\sigma_{FP} = 550 \text{ MPa}$$

از محور موتور است. بنابراین محاسبه بار وارد بـ چرخ دنده‌های درگیر در دنده‌های ۱، ۲، ۳ جلو و عقب براساس گشتاور لغزشی خواهد بود که در ادامه با ذکر مثالی این مسئله توضیح داده می‌شود. لازم بهذکر است که چرخ دنده سه‌حالته نیز تنها در این دنده‌ها درگیر است.

### محاسبه تنش وارد بـ چرخ دنده

در شکل ۲ نمایی از چرخ دنده سه‌حالته نمایش داده شده که بهمنظور راحتی محاسبات چرخ دنده‌های روی آن نامگذاری می‌شود.



شکل ۲. نمایی از چرخ دنده سه‌حالته

### معادلات آگما

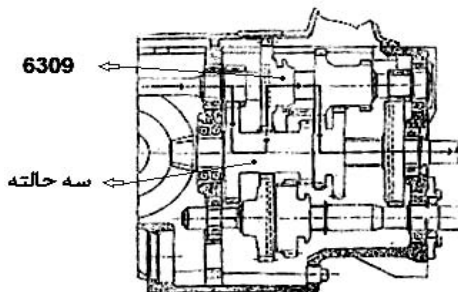
انجمان چرخ دنده‌سازان آمریکا روشی برای طراحی و آنالیز چرخ دنده ارائه داده است. در ادامه فرمول‌های آگما ذکر شده است [۱۱]:

$$\sigma = W^t K_o K_v K_s \frac{(K_m K_B)}{FmJ} \quad (۱۶)$$

معادله اصلی تنش تماسی (مقاومت به کندگی) در واحد SI عبارت است از [۱۱]:

$$\sigma_c = Z_E \sqrt{W^t K_o K_v K_s \frac{(K_m Z_R)}{(d_p FI)}} \quad (۱۷)$$

درگیری چرخ دنده سه حالته به صورت نمونه در دنده ۳ (عقب و جلو) نشان داده شده است. به عنوان الگویی برای محاسبات، چرخ دنده D7 سه حالته را در دنده ۳ جلو به تفصیل بررسی کرده و در سایر موارد تنها نتایج محاسبات در جداول ارائه شده است. با بررسی نقشه چرخ دنده سه حالته پارامترهای دنده D7 روی آن، تعیین گردید.



شکل ۳. نحوه درگیری چرخ دندها در دنده ۳ جلو

با توجه به جداول و معادلاتی که براساس استانداردهای آگما ارائه شده است و نیز اندازه‌گیری‌های انجام گرفته بر روی چرخ دنده سه حالته، ضرایب معادلات ذکر شده در جدول ۱ ارائه گردیده است [۱۱].

#### استفاده از فرمول‌های آگما برای چرخ دنده سه حالته

همان‌طور که پیش‌تر ذکر شد، چرخ دنده سه حالته تنها در دنده‌های ۱، ۲، ۳ جلو و عقب با چرخ دنده‌های دیگر درگیر است. طبق معادله ۱۱ واضح است که بیشترین نیرو در دنده ۳ (عقب و جلو) به چرخ دنده وارد می‌شود. بنابراین محاسبات را روی این دو دنده بحرانی محدود می‌گردد. در شکل‌های ۳ و ۴ نحوه

جدول ۱. ضرایب معادلات آگما

مقدار			ضرایب
7C	7D	7E	
0.38	0.27	0.32	ضریب هندسی مقاومت خمشی $J$
0.119	0.105	0.08	ضریب هندسی مقاومت سطح I
191	191	191	ضریب کشسان $Z_E$ یا $(\sqrt{MPa}) C_P$
1.37	1.26	1.3	ضریب پویایی $K_V$
1	1	1	ضریب فزون باری $K_O$
1	1	1	ضریب پرداخت (صافی) سطح $Z_R$
1	1	1	ضریب اندازه $K_S$
1.13	1.13	1.13	ضریب توزیع بار $K_m$
1	1	1	ضریب نسبت سختی $C_H$
1	1	1	ضریب عمر تنش $Z_N Y_N$ و
1	1	1	ضریب اعتماد پذیری $Y_Z$
1	1	1	ضریب دما $Y_\theta$
1.083	1	1.11	ضریب کلفتی طوقه $K_B$

لازم به ذکر است که جهت مقایسه ضریب اطمینان تنش تماسی با ضریب اطمینان تنش خمی، ضریب اطمینان تنش تماسی به توان ۲ رسیده است [۱۱].

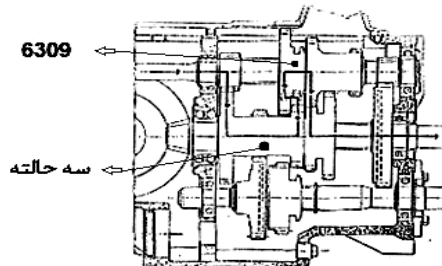
**جدول ۲. تنش‌ها و ضرایب اطمینان در دندۀ ۳ جلو  
OTM 930**

7C	7D	پارامترها
247.8	499	تنش خمی ( $\sigma$ ) (MPa)
819.4	1710	تنش تماسی ( $\sigma_C$ ) (MPa)
2.22	1.10	ضریب اطمینان تنش خمی ( $S_F$ )
2.12	1.02	ضریب اطمینان تنش تماسی ( $S_H$ )
4.49	1.04	مجذور ضریب اطمینان تنش تماسی ( $S_H^2$ )

**جدول ۳. تنش‌ها و ضرایب اطمینان در دندۀ ۳ عقب  
OTM 930**

7C	7E	پارامترها
325	514	تنش خمی ( $\sigma$ ) (MPa)
938	1733	تنش تماسی ( $\sigma_C$ ) (MPa)
1.56	1.07	ضریب اطمینان تنش خمی ( $S_F$ )
1.85	1.00	ضریب اطمینان تنش تماسی ( $S_H$ )
3.42	1.00	مجذور ضریب اطمینان تنش تماسی ( $S_H^2$ )

طبق برآوردهای صورت گرفته، حداکثر سرعت تراکتور OTM 950 در دندۀ ۳ جلو و عقب به ترتیب  $4/3$  و  $5/6$  کیلومتر در ساعت و وزن تراکتور در حدود ۱۰۴۰ کیلوگرم است. نتایج محاسبات در جداول ۴ و ۵ ارائه شده است.



**شکل ۴. نحوه درگیری چرخ دندۀ ۳ عقب**

در این چرخ دندۀ تعداد دندۀ ۱۶ عدد، زاویه‌فشار ۲۰ درجه، مدلول  $3/5$ ، عرض دندۀ ۱۶ میلی متر و قطر داخلی آن ۳۶ میلی متر است. قطعه مقابل این چرخ دندۀ ۶۳۰۹ در دندۀ دو، چرخ دندۀ ۶۳۰۹ می‌باشد. چرخ دندۀ ۶۳۰۹ نیز دارای ۳۰ دندانه و عرض  $12/5$  میلی متر است. محور خروجی از موتور حداکثر با سرعت ۳۰۰۰ دور بر دقیقه در حال دوران است، از این‌رو می‌توان نوشت:

$$N_p = 3000 \times (15/43) = 1046.5 \text{ RPM} \quad (23)$$

بنابراین چرخ دندۀ سه حالت با سرعت  $1046.5/5$  دور بر دقیقه در حال دوران می‌باشد. حداکثر سرعت تراکتور OTM 930 در دندۀ ۳ جلو و عقب به ترتیب  $3/90$  و  $5/12$  کیلومتر در ساعت است. از رابطه  $14$  توان در دندۀ ۳ جلو به دست می‌آید [۱۲]:

$$P = \frac{14788 * 3.9}{270 * 9.81} = 21.8 \text{ (hp)} \quad (24)$$

$$P = 21.8 * 0.746 = 16.26 \text{ (Kw)} \quad (25)$$

$$d_p = N_p \cdot m = 16(3.5) = 56(\text{mm}) \quad (26)$$

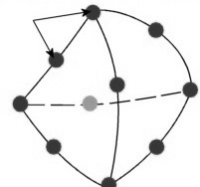
قطربینیون:

$$V = \pi d_p n_p / 60 = (\pi(56)10^{-3} (1046.5))60 = 3.0685 \text{ m/s} \quad (27)$$

$$W' = \frac{P}{V} = \frac{16260}{3.0685} = 5299 \text{ (N)} \quad (28)$$

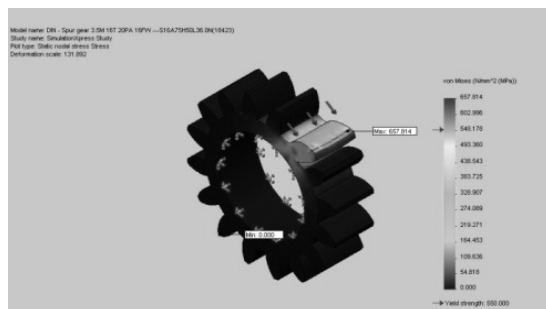
اکنون می‌توان تنش‌های خمی و تماسی و ضرایب اطمینان را از معادلات  $16, 17, 18, 19$  و  $20$  به دست آورد. نتایج این محاسبات در جدول ۲ و ۳ نشان داده شده است.

تماسی زیر یک هستند. در مرحله بعد چرخ دنده‌ها به صورت نرم افزاری مورد بررسی واقع شد. مشبندی چرخ دنده‌ها با استفاده از المان‌های چهار ضلعی که در شکل ۵ نشان داده شده، انجام گرفته است.



شکل ۵. المان مورد استفاده

در نقشه‌های شرکت تراکتور سازی ارومیه، هیچ نمایی از منحنی اینولوت دنده‌های چرخ دنده‌ها وجود نداشت، لذا به منظور مدل‌سازی، ابتدا تصویر چرخ دنده روی کاغذ میلی‌متری ایجاد و سپس چرخ دنده در نرم افزار Solid Works مدل گردید. مدل‌های سه‌بعدی در Solid Works Simulation و در قسمت Xpress تحت حداکثر بارهای محاسبه شده، آنالیز گردیده که نتایج آن در شکل‌های ۶ و ۷ نشان داده شده است. طبق نتایج حاصله از این تحلیل، ضریب اطمینان برای چرخ دنده D7 تراکتور OTM 950 در دنده ۳ جلو ۰/۸۳ و برای چرخ دنده E7 در دنده ۳ عقب، ۰/۸۹ می‌باشد که این نتایج تقریباً مشابه نتایج به دست آمده از تحلیل دستی با فرمول‌های آگما است.



شکل ۶. نتش فون میسز در چرخ دنده ۷D در دنده ۳ جلو

#### جدول ۴. نتش‌ها و ضرایب اطمینان در دنده ۳ جلو OTM 950

7C	7D	پارامترها
307.3	618.8	نش خمشی ( $\sigma$ ) (MPa)
912	1905	نش تماسی ( $\sigma_C$ ) (MPa)
1.79	0.88	ضریب اطمینان نش خمشی ( $S_F$ )
1.90	0.91	ضریب اطمینان نش تماسی ( $S_H$ )
3.61	0.83	مجدور ضریب اطمینان نش تماسی ( $S_H^2$ )

#### جدول (۵)- نتش‌ها و ضرایب اطمینان در دنده ۳ عقب OTM 950

7C	7E	پارامترها
400	633	نش خمشی ( $\sigma$ ) (MPa)
1041	1931	نش تماسی ( $\sigma_C$ ) (MPa)
1.37	0.87	ضریب اطمینان نش خمشی ( $S_F$ )
1.67	0.90	ضریب اطمینان نش تماسی ( $S_H$ )
2.77	0.80	مجدور ضریب اطمینان نش تماسی ( $S_H^2$ )

سپس با توجه به نتایج جداول مقادیر ( $S_F$ ) با ( $S_H^2$ ) مقایسه می‌گردد. همانطور که قابل ملاحظه است، در چرخدنده‌های D7 و E7 خطر خرابی هم از جهت نش تماسی و هم از جهت نش خمشی وجود دارد و البته خطر بیشتر از جانب نش تماسی است.



#### مدل‌سازی چرخدنده در Solid Works و تحلیل با استفاده از نرم افزار Simulation Xpress

با بررسی نتایج به دست آمده مشاهده می‌شود که با افزایش توان موتور تراکتور به ۵۰ اسب بخار دو چرخدنده E7 و D7 دارای ضرایب اطمینان خمشی و

**جدول ۶. مقادیر تصحیح شده ابعادی برای چرخ دندۀ  
مورد بررسی**

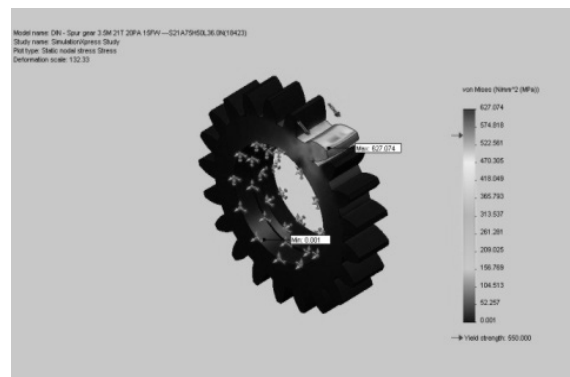
مقدار جديد	مقدار قديم	پaramتر
17.5	16	(mm) 7D عرض
16.9	15	(mm) 7E عرض
570	550	مقاومت خستگی خمسی مجاز (MPa)
1822	1734	مقاومت خستگی تماسي مجاز (MPa)

شکل ۸ چرخ دندۀ سه حالته با ابعاد جدید را بعد از تولید نشان می‌دهد. نتایج تست‌های عملی انجام شده با تراکتور در دندۀ‌های سبک و سنگین مقاومت چرخ دندۀ سه حالته را تأیید نموده است.



شکل ۸. نمایی از چرخ دندۀ سه حالته با ابعاد جدید

تست توپی‌های تراکتور نیز جهت اعمال بار اولیه به جعبه‌دنده مونتاژ شد. نتایج بازرسی کنترل کیفیت بر روی دندۀ‌ها، اندازه‌گیری مقدار دفورم و بررسی احتمال وقوع ترک در ریشه دندۀ، نشان‌دهنده مقاومت بالای چرخ دندۀ در برابر بروز عیوب و ضربیت اطمینان قابل قبول آن می‌باشد. شکل‌های ۹ و ۱۰ به ترتیب مجموعه کوپل شده اولیه از جعبه‌دنده و مجموعه مونتاژ شده نهایی را نشان می‌دهد.



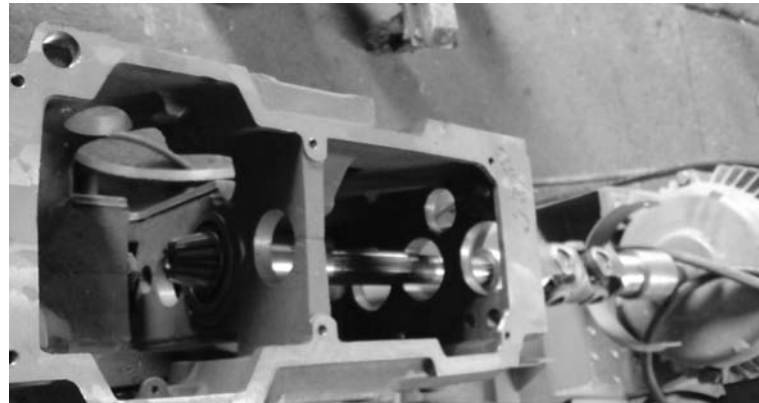
شکل ۷. تنش فون میسز در چرخدندۀ 7E در دندۀ ۳ عقب

### راهکارها و بهینه‌سازی انجام شده

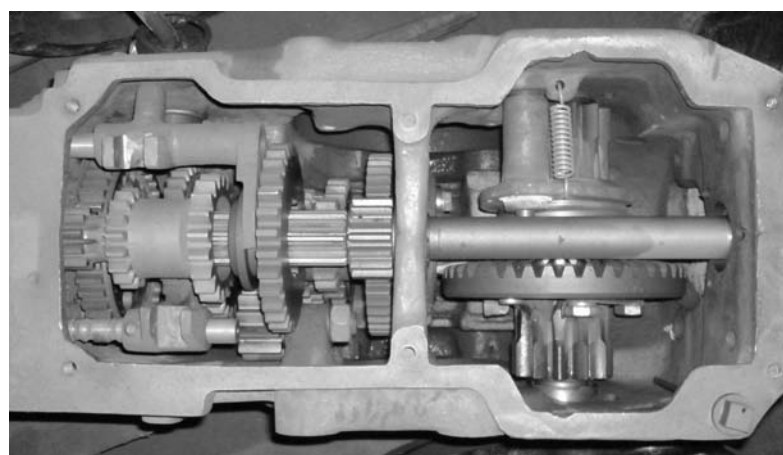
برای افزایش ظرفیت انتقال توان در قطعات مکانیکی چندین راه حل تغییر ماده مورد استفاده، تغییر فناوری ساخت مثلاً تغییر در عملیات حرارتی، تغییر در ابعاد هندسی چرخدندۀ‌ها وجود دارد. بررسی‌های متالوژیکی نشان می‌دهد که تغییر مواد قطعات برای کارخانه در اکثر موارد مقرر به صرفه نیست و از طرفی سختی سطح قطعات نیز تقریباً بیشترین مقدار ممکن را داراست (۵۸ راکول سی) و نمی‌توان فولاد مورد استفاده را بیش از این سخت نمود. لذا تنش‌های مجاز با تغییر در فناوری ساخت نیز قابل افزایش نیست، بنابراین تنها راه تغییر در ابعاد هندسی چرخدندۀ‌ها است که با توجه به محدودیت ابعادی پوسته جعبه‌دنده انجام گرفت. مقادیر بهبود یافته براساس معادلات ۱۲ و ۱۳ در جدول ۶ ارائه شده است.

برای اثبات صحت محاسبات انجام شده جعبه‌دنده با چرخدندۀ جدید اصلاح شده، به الکتروموتور تست جعبه‌دنده از طریق گاردان کوپل شده و در دندۀ‌های ۱، ۲، ۳ جلو و عقب برای تک‌تک چرخدندۀ‌های چرخدندۀ سه حالته در دور مشخص برای هر دندۀ و با توان ۵۰ اسب بخار تست گردید. در حین اجرای





شکل ۹. نمایی از جعبه‌دنده کوپل شده به الکتروموتور در حالت اولیه مونتاژ



شکل ۱۰. نمایی از جعبه‌دنده مونتاژ شده نهایی که به الکتروموتور کوپل شده است

## مراجع

- [1] Ognjanovic, M.; "Decisions in Gear Train Transmission Design", Research in Engineering Design, Vol. 8, No. 3, pp. 178-187, (1996).
- [2] Marcellin, J.L.; "Genetic Optimization of Gears", The International Journal of Advanced Manufacturing Technology, Vol. 17, No. 12, pp.910-915, (2001).
- [3] Litvin, F.L.; Vecchiato, D.; Yukishima, K.; Fuentes, A.; Gonzalez-Perez, I.; and Hayasaka, K.; "Reduction of Noise of Loaded and Unloaded Misaligned Gear Drives", Computer Methods in Applied Mechanics and Engineering, Vol.195, pp.5523–5536, (2006).

## نتیجه‌گیری

در این مقاله ابتدا ضرایب اطمینان چرخ‌دنده‌های چرخ‌دنده سه‌حالته بررسی شده و مشخص گردید که با تغییر توان موتور از  $30^{\circ}$  به  $50^{\circ}$  اسب بخار، چرخ‌دنده در دنده ۳ جلو و چرخدنده E7 در دنده ۳ عقب دارای ضریب اطمینان زیر یک می‌باشدند. سپس تحلیل مدل سه‌بعدی چرخدنده‌ها نیز به صورت نرم‌افزاری صحت این مطلب را تأیید نمود. در نهایت به منظور بهینه‌سازی چرخدنده عرض دنده‌ها با توجه به محاسبات انجام شده افزایش یافت. نتایج تست‌ها نشان دهنده دقت بالای محاسبات و مقاومت مکانیکی خوب چرخدنده می‌باشد.

8nd Ed, McGraw-Hill Book Co., London, (2008).

[12] علیپور باغبان نژاد م., علیپور باغبان نژادی., "طراحی و محاسبه چرخ دنده ها بر اساس استانداردهای ISO-DIN-CSN", احرار تبریز،

.۱۳۸۶

### پی‌نوشت

1. AGMA
2. Goldoni



**شرکت ایتراک**  
ایتراک

مهندسی و ساخت تجهیزات صنایع ایران

**طراحی و ساخت تجهیزات صنایع :**

- به ویژه برای:
- صنایع غذایی و دارویی
- صنایع شیمیایی و پتروشیمی
- تجهیزات کشتارگاهها و صنایع جنبی گوشت
- سیستم‌های انتقال مواد
- تجهیزات خطوط رنگ کارخانه‌ها
- کوردهای زباله‌سوز و لشه سوز
- مخازن تحت فشار و راکتورها
- سازهای صنعتی و انواع گریتینگ با گالوانیزه گرم

تهران - خیابان ظفر - خیابان نصیری - بلوار سینما جنوبی - شماره ۱۶  
صندوق پستی ۱۱۲۶ - ۱۹۳۹۵  
تلفن: ۰۲۲۶۰۷۴۲ - ۰۹۹۰ - ۰۲۲۷۷۲۸۲۹  
web site: [www.itrac-co.com](http://www.itrac-co.com)  
E-mail: [info@itrac-co.com](mailto:info@itrac-co.com)

[4] Kayabasi, O.; and Erzincanli, F.; "Shape Optimization of Tooth Profile of a Flexspline For a Harmonic Drive by Finite Element Modeling", Materials& Design, Vol. 28, No. 2, pp. 441-447, (2007).

[5] Xu, H.; Kahraman, A.; Anderson, N.E.; and Maddock, D.G.; "Prediction of Mechanical Efficiency of Parallel-Axis Gear Pairs", ASME, Journal of Mechanical Design, Vol.129, No.1, pp. 58–68, (2007).

[6] Bonori, G.; Barbieri, M.; and Pellicano, F.; "Optimum Profile Modifications of Spur Gears by Means of Genetic Algorithms", Journal of Sound and Vibration, Vol. 313, pp. 603–616, (2008).

[7] Bozca, M.; "Torsional Vibration Model Based Optimization of Gearbox Geometric Design Parameters to Reduce Rattle Noise in An Automotive Transmission", Mechanism and Machine Theory, Vol. 45, No. 11, pp. 1583-1598, (2010).

[8] Ibrahimi, N.; Avdiu, S.; Ramadani, R.; and Demolli, H.; "Optimization of Parameters of Cylindrical Gear Pair", In Proceeding of 14<sup>th</sup> International Research/Expert Conference, Trend in the Development of Machinery and Associated Technology, TMT 2010, Mediterranean Cruise, 11-18 September, 2010.

[9] Litvin, F.L.; and Fuentes, A.; "Gear Geometry and Applied Theory", 2nd Ed, Cambridge University Press, New York, (2004).

[10] کماریزاده م. ح., مکانیک تراکتور و ماشین های کشاورزی، چاپ اول، انتشارات جهاد دانشگاهی

ارومیه، ۱۳۸۶

[11] Budynas, R.G.; and Nisbett, J.K.; "Shigley's Mechanical Engineering Design",